

VI-2 类 5 维 q 元线性码的汉明重量谱的确定

胡国香^{1,2}, 张焕国¹

(1. 武汉大学计算机学院, 湖北 武汉 430072; 2. 中南民族大学数学与统计学学院, 湖北 武汉 430074)

摘 要: $GF(q)$ 上 $[n, k; q]$ 线性码 c 的汉明重量谱为序列 (d_1, d_2, \dots, d_k) , 其中, d_r 是 c 的 r 维子码的最小支撑重量。第 VI 类 5 维 q 元线性码的汉明重量谱, 按照新的必要条件可以分成 6 个子类。运用有限射影几何方法研究 VI-2 类的 5 维 q 元线性码的汉明重量谱, 确定 VI-2 类 5 维 q 元线性码的几乎所有汉明重量谱。

关键词: 汉明重量; 线性码; 差序列; 射影几何

中图分类号: TN 911.2

文献标识码: A

VI-2 class of Hamming weight of q -ary linear codes with dimension 5

HU Guo-xiang^{1,2}, ZHANG Huan-guo¹

(1. School of Computer, Wuhan University, Wuhan 430072, China;

2. School of Mathematics and Statistics, South-Central University for Nationalities, Wuhan 430074, China)

Abstract: The Hamming weight hierarchy of a linear $[n, k; q]$ code c over $GF(q)$ is the sequence (d_1, d_2, \dots, d_k) , where d_r is the smallest support weight of an r -dimensional subcode of c . According to some new necessary conditions, the VI class Hamming weight hierarchies of q -ary linear codes of dimension 5 can be divided into six subclasses. By using the finite projective geometry method, VI-2 subclass and determine were researched almost all weight hierarchies of the VI-2 subclass of weight hierarchies of q -ary linear codes with dimension 5.

Key words: Hamming weight, linear codes, difference sequence, projective geometry

1 引言

通信系统中信息的传递离不开编码, 而汉明重量是编码理论中非常重要的基本概念, 与编码中码的检错以及纠错能力息息相关。编码理论的创始人之一汉明 (Hamming) 提出了汉明重量。广义汉明重量最初是由用于第 2 类窃密信道的线性编码方案所触动而提出的。假设发送者有 k bit 信息被编成 n bit 码后通过此信道传送给接收者。入侵者能够从信道码中随意窃取到其中的 s bit 数据。传送的信道假设是无噪的, 因而正确

译码没有问题。问题的焦点是如何阻止入侵者获太多的信息, 也就是设计出一种编码方案, 使入侵者截取 s bit 数据时, 对于数据的可疑度(不确定度)尽可能得大。事实上, 当一种线性码用于上述信道时, 广义汉明重量可以完全表现出该码的特性。线性码的广义汉明重量谱是 Wei^[1]首次正式提出的, 广义汉明重量是码的最小距离的推广。线性码是编码理论中一类非常重要的码, 很多其他形式的码都可以和线性码找到一定的联系。汉明重量的另一种形式被 Forney 称作长度/维数轮廓, 在线性码的格子复杂度分析^[2-6]、译

收稿日期: 2015-02-02; 修回日期: 2015-04-20

基金项目: 国家自然科学基金资助项目 (No.61303212, No.61170080, No.61332019, No.U1135004); 湖北省自然科学基金资助项目 (No.2014CBF440)

Foundation Items: The National Natural Science Foundation of China (No.61303212, No.61170080, No.61332019, No.U1135004), The Natural Science Foundation of Hubei Province (No.2014CBF440)

码分析^[7-9]、检错分析^[10]等方面都有非常重要的应用,文献[11]也详细讨论了其应用。重量谱的概念由Wei提出以后,立即成为编码理论的一个前沿研究热点。

1.1 基础知识

对于一个码 D , D 中的所有码字的非零位置的全体所构成的集合称为 D 的支撑集,记为 $\chi(D)$,即 $\chi(D)=\bigcup_{c \in D} \{i | c_i \neq 0, c=(c_1, c_2, \dots, c_n)\}$,支撑集的大小记为 $\omega_s(D)=|\chi(D)|$ 。

对于一个参数为 $[n, k; q]$ 的码 C (即 $\text{GF}(q)$ 上码长为 n 的 k 维码),当 $1 \leq r \leq k$ 时, r 阶广义汉明重量(或最小支撑重量)定义为 $d_r(C)=\min\{\omega_s(D) | D \text{是} C \text{的} r \text{维子码}\}$,特别 $d_1(C)$ 即为通常意义下码 C 的最小距离,序列 $(d_1, d_2, d_3, d_4, d_5)$ 称为广义汉明重量,也简称为汉明重量谱。

“如何确定线性码的汉明重量谱”一直是编码理论研究的核心问题。关于汉明重量谱的研究,第1个研究方向是关于具体的各类线性纠错码的。由于确定 d_1 是编码理论中尚未完全解决的难题,因此 d_r 的确定更加困难,目前仅有少数的几类码确定了重量谱。文献[12]确定了RM码、汉明码及其补码、扩展汉明码、极大距离可分码等的重量谱;文献[13~15]对广义汉明重量的上下限进行了研究;文献[16,17]中,重量谱的类别被扩展到线性等重码。第2个方向是关于一般线性码的。对于一般线性码的重量谱,传统的研究方法有组合方法与计算机搜索。但是随着线性码维数的增加,重量谱的类别也呈指数增加,对于高维数线性码重量谱的研究更加困难,这2种方法均不太适用。目前来看,有限射影几何方法对于高维数线性码重量谱的研究较为适用。

1.2 相关工作

1992年,密码学家Helleseth^[18]提出了确定一般线性码的所有可能的汉明重量谱,这也是编码理论中一个非常有意义的理论问题。1996年,陈文德等^[19]提出了有限射影几何方法,并第一次有效地用于确定4维 q 元线性码的汉明重量谱。他们还把4维 q 元线性码及其汉明重量谱分成了9类,用有限射影几何方法取得了丰富的分类研究成果,参见文献[20,21]等。文献[22]对4维 q 元线性码的汉明重量谱进行研究,确定4维 q 元线性码的几乎所有的汉明重量谱。文献[23]中把5维 q 元线性码及其汉明重量谱分成6类,

并对6类码中的II-1类进行了研究;文献[24]对II-2类进行了研究。文献[25]确定了5维 q 元线性码V-1类的几乎所有的汉明重量谱。文献[26]确定了5维 q 元线性码V-2类的几乎所有的汉明重量谱。在文献[27]中第VI类5维 q 元线性码的汉明重量谱又被分成了6个子类,并对其中的VI-1类进行研究,确定该类的几乎所有的汉明重量谱。本文将对文献[27]中的VI-2子类进行研究,并确定其几乎所有的汉明重量谱。

本文主要研究了文献[27]中5维 q 元线性码的第VI-2类的汉明重量谱。利用有限射影几何方法,通过往4维空间进行投影,把重量谱的确定转化为4维空间中的点、线、面、体的赋值函数的确定问题,使确定重量谱这一抽象的理论问题变得更为形象化。

2 预备知识

在本文中, c 表示 $[n, 5; q]$ 线性码,即 $\text{GF}(q)$ 上的码长为 n 的5维 q 元线性码,差序列 $(d_1, d_2, d_3, d_4, d_5)$ 称为码 C 的汉明重量谱。

一个码 C 对应于一个差序列 $(d_1, d_2, d_3, d_4, d_5)$,所有的线性码 C 确定了一个序列集,本文的目标是确定这类序列集中几乎所有的序列。

如果对参数为 $[n, 5; q]$ 的码 C 添加一个零列,得到参数为 $[n+1, 5; q]$ 的码 $C'=\{(c|0) | c \in C\}$ 。码 C 与 C' 具有相同的汉明重量谱,因此不失一般性,可假设 $n=d_5$ 。

令 $i_0=d_5-d_4, i_1=d_4-d_3, i_2=d_3-d_2, i_3=d_2-d_1, i_4=d_1$,则序列 $(i_0, i_1, i_2, i_3, i_4)$ 称为 $[d_4, 5; q]$ 码的差序列(简称DS)。显然,DS和汉明重量谱之间可以相互转化。因此,“确定汉明重量谱”可归结为“确定差序列”。由文献[1]可知,对所有的 r ,均有 $i_r \geq 1$ 。

令 G 为码 C 的生成矩阵,对 $\forall x \in \text{GF}(q)^5$,用 $m(x)$ 表示 x 在矩阵 G 的列中所出现的次数。如果 $x=\alpha y$ (其中, y 为 G 中的列, $\alpha \in \text{GF}(q)$ 且 $\alpha \neq 0$),则可用 x 代替 y 且不改变任一子码的支撑重量,因此可以用射影空间 $PG(4, q)$ 中的点来描述 G 中的列。用 V_4 来表示射影空间 $PG(4, q)$,赋值函数为 $m: V_4 \rightarrow N, N=\{0, 1, 2, \dots\}$ 。对 $\forall p \in V_4$,称 $m(p)$ 为 p 的值(或者重量)。对 $\forall S \in V_4$,定义 S 的值为 $m(S)=\sum_{p \in S} m(p)$ 。文献[4]中证明了汉明重量谱为

$(d_1, d_2, d_3, d_4, d_5)$ 码的存在性等价于满足下面条件式 (1) 的赋值函数 m 的存在性

$$\begin{aligned} & \max\{m(U_r) | U_r \text{ 是 } V_4 \text{ 中的 } r \text{ 维子空间}\} \\ & = \sum_{j=0}^r i_j, 0 \leq r \leq 4 \end{aligned} \quad (1)$$

用 p^*, l^*, P^*, V^* 分别表示 $r = 0, 1, 2, 3$ 时, 赋值函数取式(1)右侧最大值的最重点、最重线、最重面、最重体。确定码的几乎所有可能的汉明重量谱的有限射影几何方法的核心是: 先用几何方法得到差序列的最紧并且最好的必要条件, 再对满足这一必要条件的几乎所有的 i_j 构造出满足式(1)并且尽量均匀的赋值函数 m 。

定义 1 以符号 $N(i)$ 表示 $i_0 \leq i$ 时某一类差序列的数目, 以符号 $M(i)$ 表示 $i_0 \leq i$ 时这类差序列的必要条件中所含序列的数目, 若 $\lim_{i \rightarrow \infty} \frac{N(i)}{M(i)} = 1$, 则称此必要条件是几乎充分的。

3 主要结果

文献[27]中把 5 维 q 元线性码的第 VI 类的差序列的必要条件分成 6 个子类, 并对其中的 VI-1 类进行了研究, 其他 5 个子类的重量谱均未确定。相比 VI-1 类来说, VI-2 重量谱的确定更为困难, 因为当 i_1 取得上界时, 赋值函数的取值不完全为 i_0 的整数倍, 需要考虑将 i_0 进行分数化处理。

本文研究这 6 类中的 VI-2 个子类。由文献[27]可得 VI-2 类差序列的必要条件如下。

定理 1 对于 5 维 q 元线性码, $(i_0, i_1, i_2, i_3, i_4)$ 是满足 VI-2 类差序列的必要条件

$$\begin{cases} \frac{i_0}{q} \leq i_1 \leq i_0 \\ qi_1 < i_2 \leq qi_0 \\ qi_2 < i_3 \leq \frac{q^2}{q+1}(i_0 + i_2) \\ i_0 \leq i_4 \leq (q^3 + q^2 + q)i_1 - i_2 - i_3 \end{cases}$$

下面将构造出 VI-2 类的几乎所有可能的汉明重量谱, 即证明上述必要条件是几乎充分的, 以下的引理 1~引理 4 将给出各种条件下的详细证明与赋值函数的构造。

引理 1 设

$$i_1 = i_0 - 2 \quad (2)$$

$$i_2 = qi_1 + q - 1 \quad (3)$$

$$i_3 = qi_2 + q \quad (4)$$

$$i_4 = (q^3 + q^2 + q)i_1 - i_2 - i_3 - (q^3 + q^2 + q) \quad (5)$$

这里 i_1, i_4 取的上界, i_2, i_3 取的下界, 则满足条件式(2)~式(5)的序列 $(i_0, i_1, i_2, i_3, i_4)$ 是差序列。

证明 把式(2)~式(5)代入后, 得

$$m(l^*) = i_0 + i_1 = 2i_0 - 2$$

$$\begin{aligned} m(P^*) &= i_0 + i_1 + i_2 \\ &= i_0 - 2 + (q+1)(i_1 + 1) \end{aligned}$$

$$\begin{aligned} m(V^*) &= i_0 + i_1 + i_2 + i_3 \\ &= i_0 - 2 + (q^2 + q + 1)(i_1 + 1) \end{aligned}$$

$$m(V_4) = i_0 + i_1 + (q^3 + q^2 + q)i_1$$

设 $PG(4, q)$ 表示以不在一个体内的 5 个点 e_1, e_2, e_3, e_4, e_5 做顶点的 4 维多面体, 如图 1 所示。用符号 $\langle x_1, x_2, \dots, x_t \rangle$ 表示由点 x_1, x_2, \dots, x_t 生成的 $t-1$ 维子空间。

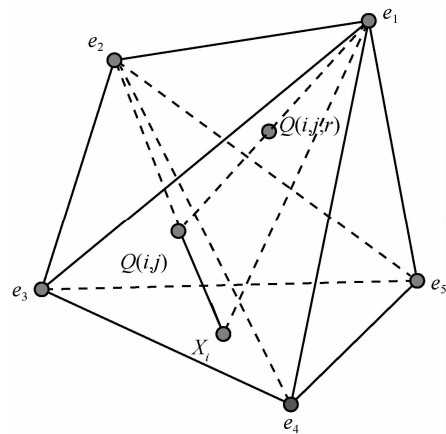


图 1 边界结构

定义下面这些符号为

$$\langle e_3, e_4, e_5 \rangle = \{X_j | 0 < j \leq q^2 + q + 1\}$$

$$\frac{\langle e_2, X_j \rangle}{\{e_2\}} = \{Q(i, j) | 0 < j \leq q\} \quad (\text{自 } e_2 \text{ 开始的点})$$

$$\frac{\langle e_1, Q(i, j) \rangle}{\{e_1\}} = \{Q(i, j, r) | 0 < r \leq q\} \quad (\text{自 } e_1 \text{ 开始的点})$$

构造赋值函数 $m(\cdot)$ 如下

$$m(x) = \begin{cases} i_0, & x = e_1 \\ i_0 - 2, & x = e_2 \\ 0, & x \in \frac{\langle e_1, e_2 \rangle}{\{e_1, e_2\}} \\ x = Q(i, j, r) (0 < i \leq q^2 + q + 1) \\ \left[\frac{i_0 - 3}{q} \right] + 1, & \begin{cases} 0 < j \leq i_0 - 1 - q \left[\frac{i_0 - 3}{q} \right], \\ q - (i_0 - 3 - q \left[\frac{i_0 - 3}{q} \right]) < r \leq q \\ i_0 - 1 - q \left[\frac{i_0 - 3}{q} \right] < j \leq q, \\ 0 < r \leq i_0 - 3 - q \left[\frac{i_0 - 3}{q} \right] \end{cases} \\ x = Q(i, j, r) \\ \left[\frac{i_0 - 3}{q} \right], & \begin{cases} i_0 - 1 - q \left[\frac{i_0 - 3}{q} \right] < j \leq q, \\ i_0 - 3 - q \left[\frac{i_0 - 3}{q} \right] < r \leq q \\ 0 < j \leq i_0 - 1 - q \left[\frac{i_0 - 3}{q} \right], \\ 0 < r \leq q - (i_0 - 3 - q \left[\frac{i_0 - 3}{q} \right]) \end{cases} \end{cases}$$

点、线、面、体之间的关系说明如下。

1) 由上述赋值函数的构造可得, e_1 为最重点, $\langle e_1, e_2 \rangle$ 为最重线, $\langle e_3, e_4, e_5 \rangle$ 为最重面, $\langle e_2, e_3, e_4, e_5 \rangle$ 为最重体。

可以证明过 e_1 点的线除 $\langle e_1, e_2 \rangle$ 外, 其余每一条线 l 的值均为 $i_0 + i_1 - 1$ 。

体 $\langle e_2, e_3, e_4, e_5 \rangle$ 内过 e_2 点的线的值均为 $i_0 + i_1 - 1 = i_0 - 2 + (i_1 + 1)$ 。

体 $\langle e_2, e_3, e_4, e_5 \rangle$ 内赋值最大的线即为过点 e_2 的线, 最大的面即为过 e_2 的面, 且体 $\langle e_2, e_3, e_4, e_5 \rangle$ 内过 e_2 点的每一个面均为最重面。过 e_1 点的面当中值最大的为过线 $\langle e_1, e_2 \rangle$ 的面 P , 且

$$\begin{aligned} m(P) &= i_0 + i_1 + q(i_1 - 1) \\ &= i_0 + i_1 + i_2 - 2q + 1 < m(P^*) \end{aligned}$$

所以, $p^* \notin P^*$ 。

过线 $\langle e_1, e_2 \rangle$ 的体 V 的值为

$$\begin{aligned} m(V) &= i_0 + i_1 + (q^2 + q)(i_1 - 1) \\ &= i_0 + i_1 + i_2 + i_3 - (2q^2 + 2q - 1) < m(V^*) \end{aligned}$$

所以 $l^* \notin V^*$ 。因此上述构造的边界结构满足式

(1)并且符合 VI 类的必要条件, 即 $p^* \notin P^*$, $l^* \notin V^*$ 且 $p^* \notin V^*$ 。

为了从上述边界结构得到一般结构, 首先用体集降 i_1 到下界附近, 而保持其他 i_j 仍为边界值 (引理 2); 然后将 i_2 上升到上界附近, 而保持 i_3, i_4 仍为边界值 (引理 3); 再将 i_3 上升到上界附近, 而保持 i_4 仍为边界值 (引理 4); 最后将 i_4 下降到下界附近。

引理 2 对任意满足条件式(3)~式(5)的序列 $(i_0, i_1, i_2, i_3, i_4)$, 如果

$$\frac{i_0}{q} + h_1(q) \leq i_1 \leq i_0 - 2 \quad (6)$$

其中, $h_1(q) = q^6(q^2 - 1)$, 则 $(i_0, i_1, i_2, i_3, i_4)$ 是差序列。

证明 定义以下一些符号 (如图 2 所示)。

记 l_m ($0 < m \leq q + 1$) 为 $\langle e_2, e_3, e_4 \rangle$ 内过 e_2 点的线

$$\begin{aligned} \frac{\langle e_2, e_3, e_4 \rangle}{\{e_2\}} &= \{C_k \mid 0 < k \leq q^2 + q\} \\ \frac{\langle e_2, e_3, e_4, e_5 \rangle}{\langle e_2, e_3, e_4 \rangle} &= \{B_j \mid 0 < j \leq q^3\} \\ \frac{V_4}{\{\langle e_1, e_2 \rangle, \langle e_2, e_3, e_4, e_5 \rangle\}} &= \{A_i \mid 0 < i \leq q^4 - q\} \end{aligned}$$

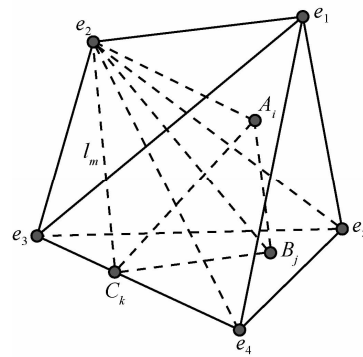


图 2 i_1 下降结构

构造赋值函数 $m'(\cdot)$ 如下

$$m'(x) = \begin{cases} i_0, & x = e_1 \\ m(x) - 1, & x \in \langle l_m, B_j, A_i \rangle \text{ 且} \\ & A_i \notin \langle e_1, B_j, l_m \rangle \\ m(x), & \text{其他} \end{cases}$$

当取遍满足条件的所有的体 $\langle l_m, B_j, A_i \rangle$ 时, 称 i_1 下降一圈或 i_1 循环一次。 i_1 每循环一次, i_1 的值下降 $(q + 1)q^3(q^4 - q^3) = q^6(q^2 - 1)$ 。

$\frac{\langle e_2, e_3, e_4 \rangle}{\{e_2\}}$ 中每个点的值均下降 $q^6(q - 1)$, 每个

点 B_j 的值下降 $q^5(q^2-1)$, $\frac{\langle e_1, e_2, e_3, e_4 \rangle}{\{e_1, e_2\}, \{e_2, e_3, e_4\}}$ 中每个点 A_i 的值下降 q^7 , $\frac{\langle e_1, B_j \rangle}{\{e_1, B_j\}}$ 中每个点的值下降 $q^5(q^2-1)$ 。

假设最多循环 w_1 次, 因为点的值下降但始终非

负, 所以 $\left\lfloor \frac{i_0-3}{q} \right\rfloor - w_1 q^7 \geq 0$, 即 $w_1 \leq \left\lfloor \frac{i_0-3}{q^7} \right\rfloor$, 而

此时 $i_1 = i_0 - 2 - w_1 q^6(q^2-1) > \frac{i_0}{q}$ 。

所以可令

$i_1 - w_1 q^6(q^2-1) = i_0 - 2 - w_1 q^6(q^2-1) \geq \frac{i_0}{q}$, 故

$$w_1 \leq \frac{(q-1)i_0 - 2q}{q^7(q^2-1)}.$$

取 $w_1 = \left\lfloor \frac{(q-1)i_0 - 2q}{q^7(q^2-1)} \right\rfloor$, 则 i_1 可下降至

$$\begin{aligned} i_1 &= i_0 - 2 - w_1 q^6(q^2-1) \\ &< i_0 - 2 - q^6(q^2-1) \left(\frac{(q-1)i_0 - 2q}{q^7(q^2-1)} - 1 \right) \\ &= \frac{i_0}{q} + h_1(q) \end{aligned}$$

所以取 $w_1 = \left\lfloor \frac{(q-1)i_0 - 2q}{q^7(q^2-1)} \right\rfloor$, i_1 可下降至下界附近, 而每个点的值均大于 0, 为后面 i_2 及 i_3 的上升做准备。

引理 3 对任意满足条件式(4)~式(6)的序列 $(i_0, i_1, i_2, i_3, i_4)$, 如果

$$q i_1 + q - 1 \leq i_2 \leq q i_0 - h_2(q) \quad (7)$$

其中, $h_2(q) = q^4(q^2-1) + q + 1$, 则 $(i_0, i_1, i_2, i_3, i_4)$ 是差序列。

证明 先定义以下一些符号 (如图 3 所示)。

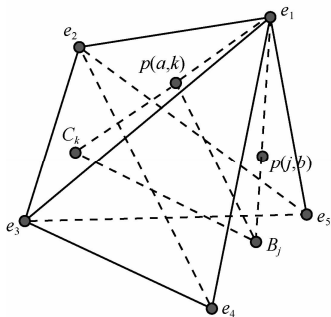


图 3 i_2 上升结构

$$\frac{\langle e_1, C_k \rangle}{\{e_1, C_k\}} = \{p(k, a) \mid 0 < a \leq q-1\}$$

$$\frac{\langle e_1, B_j \rangle}{\{e_1, B_j\}} = \{p(j, b) \mid 0 < b \leq q-1\}$$

构造赋值函数 $m''(\cdot)$ 如下

$$m''(x) = \begin{cases} i_0, x = e_1 \\ m'(x) + 1, x \in \langle C_k, B_j \rangle \\ m'(x) - 1, x \in \langle B_j, p(a, k) \rangle, x = p(j, b) \\ m'(x), \text{其他} \end{cases}$$

取遍满足条件的所有的线与点时, 称 i_2 上升一圈, i_2 每上升 1 圈, i_2 的值上升 $q^4(q^2-1)$; $\frac{\langle e_2, e_3, e_4 \rangle}{\{e_2\}}$ 中每个点 C_k 的值上升 $q^3(q-1)$; 每个点 B_j 的值上升 $q^2(q^2-1)$; 线 $\langle e_1, e_2 \rangle$ 上每个点的值不变; $\frac{\langle e_1, e_2, e_3, e_4 \rangle}{\{e_1, \langle e_2, e_3, e_4 \rangle\}}$ 中的每个点的值均下降 q^3 , 其余 $q^4 - q^3$ 个点的值均下降 $q^2(q+1)$ 。

假设最多循环 w_2 次。

1) 由点的非负性, 可得

$$\left\lfloor \frac{i_0-3}{q} \right\rfloor - w_1 q^7 - w_2 q^3 \geq 0$$

所以, $w_2 \leq \left\lfloor \frac{i_0-3}{q^3} \right\rfloor - w_1 q^4$;

又由

$$\left\lfloor \frac{i_0-3}{q} \right\rfloor - w_1 q^5(q^2-1) - w_2 q^2(q+1) \geq 0$$

所以, $w_2 \leq \left\lfloor \frac{i_0-3}{q^2(q+1)} \right\rfloor - w_1 q^3(q-1)$ 。

2) 由 $l^* \notin V^*$ 可得

$$\begin{aligned} 2i_0 - 3 - w_1 q^6(q^2-1) - q q^6(q-1) w_1 + w_2 q q^3(q-1) \\ \leq 2i_0 - 3 - w_1 q^6(q^2-1) \end{aligned}$$

所以, $w_2 \leq q^3 w_1$ 。

又由

$$\begin{aligned} 2i_0 - 3 - w_1 q^6(q^2-1) - q q^5(q^2-1) w_1 + w_2 q q^2(q^2-1) \\ \leq 2i_0 - 3 - w_1 q^6(q^2-1) \end{aligned}$$

所以, $w_2 \leq q^3 w_1$ 。

又由

$$\frac{i_0 - 2}{q}(q + 1) - (q + 1)w_1q^6(q - 1) + (q + 1)w_2q^3(q - 1) \leq 2i_0 - 3 - w_1q^6(q^2 - 1)$$

$$\text{所以, } w_2 \leq \frac{i_0 - 2}{q^4(q + 1)}.$$

又由

$$\frac{i_0 - 2}{q}(q + 1) - w_1q^6(q - 1) - qw_1q^5(q^2 - 1) + w_2q^3(q - 1) + qw_2q^2(q^2 - 1) \leq 2i_0 - 3 - w_1q^6(q^2 - 1)$$

$$\text{所以, } w_2 \leq \frac{i_0 - 2}{q^4(q + 2)} + \frac{q^3}{q + 2}w_1.$$

3) 由面之间的关系可得

$$i_0 + i_1 + i_2 - w_1q^6(q^2 - 1) - qq^6(q - 1)w_1 - q^2q^5(q^2 - 1)w_1 + w_2qq^3(q - 1) + w_2q^2q^2(q^2 - 1) \leq i_0 + i_1 + i_2 - w_1q^6(q^2 - 1) + q^4(q^2 - 1)w_2$$

$$\text{所以, } w_2 \leq q^3(q + 2)w_1.$$

又由

$$\frac{i_0 - 2}{q}(q^2 + q + 1) - (q + 1)q^6(q - 1)w_1 - q^2q^5(q^2 - 1)w_1 + (q + 1)q^3(q - 1)w_2 + q^2q^2(q^2 - 1)w_2 \leq i_0 + (q + 1)[i_0 - 2 - q^6(q^2 - 1)w_1] + q^4(q^2 - 1)w_2$$

$$\text{所以, } w_2 \leq \frac{i_0}{q^4(q + 1)}.$$

由 w_1 的范围可知, q^3w_1 最小。

$$\text{由 } i_1 = i_0 - 2 - q^6(q^2 - 1)w_1 \text{ 可得, } w_1 = \frac{i_0 - 2 - i_1}{q^6(q^2 - 1)}, \text{ 所以, } q^3w_1 = \frac{i_0 - 2 - i_1}{q^3(q^2 - 1)}.$$

$$\text{取 } w_2 = \left\lfloor \frac{i_0 - 2 - i_1}{q^3(q^2 - 1)} \right\rfloor.$$

下面证明 i_2 可上升至上界

$$\begin{aligned} i_2 &= qi_1 + q - 1 + w_2q^4(q^2 - 1) \\ &= qi_1 + q - 1 + q^4(q^2 - 1) \left\lfloor \frac{i_0 - 2 - i_1}{q^3(q^2 - 1)} \right\rfloor \\ &> qi_1 + q - 1 + q^4(q^2 - 1) \left(\frac{i_0 - 2 - i_1}{q^3(q^2 - 1)} - 1 \right) \\ &= qi_0 - h_2(q) \end{aligned}$$

$$\text{所以, 当 } w_2 = \left\lfloor \frac{i_0 - 2 - i_1}{q^3(q^2 - 1)} \right\rfloor \text{ 时, } i_2 \text{ 可上升到上界}$$

附近。

引理 4 对任意满足条件式(5)~式(7)的序列 $(i_0, i_1, i_2, i_3, i_4)$, 如果

$$qi_2 + q \leq i_3 \leq \frac{q^3}{q^2 + q + 1}(i_0 + i_1 + i_2) - h_3(q) \quad (8)$$

其中, $h_3(q) = q^3(q - 1)$, 则 $(i_0, i_1, i_2, i_3, i_4)$ 是差序列。

证明 如图 4 所示, 构造赋值函数 $m'''(\cdot)$ 如下

$$m'''(x) = \begin{cases} i_0, & x = e_1 \\ m''(x) + 1, & x = B_j \\ m''(x) - 1, & x = p(j, b) \\ m''(x), & \text{其他} \end{cases}$$

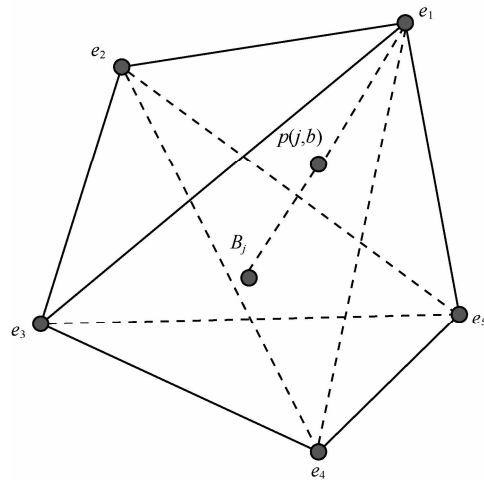


图 4 i_3 上升结构

当取遍满足条件的所有的点 B_j 与 $p(j, b)$ 时, 称 i_3 上升 1 圈, i_3 每上升 1 圈, i_3 的值上升 $q^3(q - 1)$; 每个点 B_j 的值上升 $q - 1$; $\frac{\langle e_1, B_j \rangle}{\{e_1, B_j\}}$ 中每个点的值下降 1。假设最多循环 w_3 次。

1) 由点的非负性, 可得

$$\left\lfloor \frac{i_0 - 3}{q} \right\rfloor - w_1q^5(q^2 - 1) - w_2q^2(q + 1) - w_3 \geq 0$$

$$\text{所以, } w_3 \leq \left\lfloor \frac{i_0 - 3}{q} \right\rfloor - q^5(q^2 - 1)w_1 - q^2(q + 1)w_2.$$

2) 由 $I^* \not\subset V^*$ 可得

$$\begin{aligned} &2i_0 - 3 - w_1q^6(q^2 - 1) - qq^5(q^2 - 1)w_1 + \\ &qq^2(q^2 - 1)w_2 + q(q - 1)w_3 \\ &\leq 2i_0 - 3 - w_1q^6(q^2 - 1) \end{aligned}$$

$$\text{所以, } w_3 \leq q^5(q + 1)w_1 - q^2(q + 1)w_2.$$

又由

$$\begin{aligned} & \frac{i_0-3}{q}(q+1)-w_1q^6(q-1)-qq^5(q^2-1)w_1+ \\ & q^3(q-1)w_2+qq^2(q^2-1)w_2+q(q-1)w_3 \\ & \leq 2i_0-3-w_1q^6(q^2-1) \end{aligned}$$

$$\text{所以, } w_3 \leq \frac{i_0-3}{q^2}+q^5w_1-q^2(q+2)w_2。$$

3) 由面之间的关系, 可得

$$\begin{aligned} & i_0+i_1+i_2-qw_1q^6(q-1)-w_1q^6(q^2-1)-q^2w_1q^5(q^2-1)+ \\ & qw_2q^3(q-1)+q^2w_2q^2(q^2-1)+q^2(q-1)w_3 \\ & \leq i_0+i_1+i_2-(q+1)w_1q^6(q^2-1)+q^4(q^2-1)w_2 \end{aligned}$$

$$\text{所以, } w_3 \leq q^5w_1-q^2w_2。$$

又由

$$\begin{aligned} & (q^2+q+1)\frac{i_0-3}{q}-(q+1)w_1q^6(q-1)-q^2w_1q^5(q^2-1)+ \\ & (q+1)w_2q^3(q-1)+q^2w_2q^2(q^2-1)+q^2(q-1)w_3 \\ & \leq i_0+i_1+i_2 \end{aligned}$$

$$\text{所以, } w_3 \leq \frac{i_0-2}{q^3}-q(q+1)w_2。$$

由 w_1, w_2 的范围, 易知 $q^5w_1-q^2w_2$ 最小。所以, 取 $w_3 = q^5w_1 - q^2w_2$, 此时 $p^* \notin P^*, l^* \notin V^*$ 。

$$\text{由 } i_1 = i_0 - 2 - q^6(q^2 - 1)w_1 \text{ 可得: } w_1 = \frac{i_0 - 2 - i_1}{q^6(q^2 - 1)};$$

$$\text{由 } i_2 = qi_1 + q - 1 + q^4(q^2 - 1)w_2 \text{ 可得: } w_2 = \frac{i_2 - qi_1 - q + 1}{q^4(q^2 - 1)}。$$

所以,

$$\begin{aligned} q^5w_1 - q^2w_2 &= q^5 \frac{i_0 - 2 - i_1}{q^6(q^2 - 1)} - q^2 \frac{i_2 - qi_1 - q + 1}{q^4(q^2 - 1)} \\ &= \frac{qi_0 - i_2 - q - 1}{q^2(q^2 - 1)} \end{aligned}$$

$$\text{取 } w_3 = \left\lfloor \frac{qi_0 - i_2 - q - 1}{q^2(q^2 - 1)} \right\rfloor。$$

下面证明 i_3 可上升至上界

$$\begin{aligned} i_3 &= qi_2 + q + w_3q^3(q-1) \\ &= qi_2 + q + q^3(q-1) \left\lfloor \frac{qi_0 - i_2 - q - 1}{q^2(q^2 - 1)} \right\rfloor \\ &> qi_2 + q + q^3(q-1) \left(\frac{qi_0 - i_2 - q - 1}{q^2(q^2 - 1)} - 1 \right) \\ &= \frac{q^2}{q+1}(i_0 + i_2) - h_3(q) \end{aligned}$$

$$\text{所以, 当 } w_3 = \left\lfloor \frac{qi_0 - i_2 - q - 1}{q^2(q^2 - 1)} \right\rfloor \text{ 时, } i_3 \text{ 可上升到}$$

上界附近。

$$i_4 \text{ 从上界可以一直往下降, 直到 } \frac{V_4}{\{l^*, V^*\}} \text{ 所有点的}$$

值均降为 0, 这时 i_4 的下界为 i_0 。

因为 $qi_1 + q - 1 \leq i_2 \leq qi_0 - h_2(q)$, 所以,

$$i_1 \leq i_0 - \frac{h_2(q)}{q} - \frac{q-1}{q} = i_0 - 2 - q^3(q^2 - 1); \text{ 又由}$$

$$\frac{i_0}{q} + h_1(q) \leq i_1 \leq i_0 - 2, \text{ 所以, } \frac{i_0}{q} + h_1(q) \leq i_1 \leq i_0 - 2 -$$

$$q^3(q^2 - 1), \text{ 可得 } i_0 \geq \frac{qh_1(q) + 2q + q^4(q^2 - 1)}{q - 1} = h_0(q)。$$

由上述引理 1~引理 4, 可得如下的定理。

定理 2 对于 5 维 q 元线性码, $(i_0, i_1, i_2, i_3, i_4)$ 是满足 VI-2 类差序列的充分条件:

- 1) $h_0(q) \leq i_0$;
- 2) $\frac{i_0}{q} + h_1(q) \leq i_1 \leq i_0 - 2$;
- 3) $qi_1 + q - 1 \leq i_2 \leq qi_0 - h_2(q)$;
- 4) $qi_2 + q \leq i_3 \leq \frac{q^2}{q+1}(i_0 + i_2) - h_3(q)$;
- 5) $i_0 \leq i_4 \leq (q^3 + q^2 + q)i_1 - i_2 - i_3$ 。

$$\text{其中, } h_0(q) = q^4(q+1)(q^3+1)+2+\frac{2}{q-1}, \quad h_1(q) =$$

$$q^6(q^2-1), \quad h_2(q) = q^4(q^2-1)+q+1, \quad h_3(q) = q^3(q-1)。$$

所以, 由引理 1~引理 4, 该定理的充分性得证, 也就得到了 VI-2 类的几乎所有的差序列。

以符号 $N(i)$ 表示 $i_0 \leq i$ 时, VI-2 类差序列的数目, 以符号 $M(i)$ 表示 $i_0 \leq i$ 时, 上述定理必要条件所含序列的数目, 经计算可得 $\lim_{i \rightarrow \infty} \frac{N(i)}{M(i)} = 1$ 。

4 结束语

本文对 5 维 q 元线性码中的第 VI-2 类进行研究, 运用有限射影几何方法通过对射影空间中的点进行赋值, 得到不同条件下赋值函数的构造, 从而得到第 VI-2 类 5 维 q 元线性码的几乎所有的汉明重量谱。

参考文献:

[1] WEI V K. Generalized Hamming weight for liner codes[J]. IEEE Transactions Information Theory, 1991,37(5):1412-1418.
 [2] FORNEY G D. Dimension/length profiles and trellis complexity of

- linear block codes[J]. IEEE Transactions Information Theory, 1994, 40(6):1741-1752.
- [3] KASAMI T, TAKATA T, FUJIWARA T, et al. On the optimum bit orders with respect to the state complexity of trellis diagrams for binary linear codes[J]. IEEE Transactions Information Theory, 1993, 39(1): 242-245.
- [4] MORELOS-ZARAGOZA R, FUJIWARA T, KASAMI T, et al. Constructions of generalized concatenated codes and their trellis-based decoding complexity[J]. IEEE Transactions Information Theory, 1999, 45(2): 725-731.
- [5] SHANY V, BE'ERY Y. The preparata and goethals codes: trellis complexity and twisted squaring constructions[J]. IEEE Transactions Information Theory, 1999, 45(5): 1667-1673.
- [6] VARDY A, BE'ERY Y. Maximum-likelihood soft decision decoding of BCH codes[J]. IEEE Transactions Information Theory, 1994, 40(2): 546-554.
- [7] FOSSORIER M P C, LIN S. A unified method for evaluating the error-correction radius of reliability-based soft-decision algorithms for linear block codes[J]. IEEE Transactions Information Theory, 1998, 44(2): 691-700.
- [8] FOSSORIER M P C, LIN S, SNYDERS J. Reliability-based syndrome decoding of linear block codes[J]. IEEE Transactions Information Theory, 1998, 44(1): 388-398.
- [9] GAZELLE D, SNYDERS J. Reliability-based code-search algorithms for maximum-likelihood decoding of block codes[J]. IEEE Transactions Information Theory, 1997, 43(1):239-249.
- [10] KLØVE T. The worst-case probability of undetected error for linear codes on the local binomial channel[J]. IEEE Transactions Information Theory, 1996, 42(1): 172-179.
- [11] 岳殿武, 鄧广增. 广义 Hamming 重量, 维数/长度轮廓及其应用[J]. 电子学报, 1999, 27(4):111-115.
YUE D W, FENG G Z. Generalized Hamming weight, dimension/length profile and their applications[J]. Chinese Journal of Electronics, 1999, 27(4):111-115.
- [12] 罗守山, 陈萍, 杨义先. 广义汉明重量下限函数 $L_i(j, d)$ 的新证明[J]. 北京邮电大学学报, 1996, 19(4):67-70.
LUO S S, CHEN P, YANG Y X. A new proof of lower bound $L_i(j, d)$ of generalized Hamming weights[J]. Beijing University of Posts and Telecommunications, 1996, 19(4):67-70.
- [13] 罗守山, 杨义先, 吴伟陵. 线性码广义汉明重量的上限函数[J]. 通信学报, 1999, 20(11):86-90.
LUO S S, YANG Y X, WU W L. The upper bound of generalized Hamming weight of linear codes[J]. Journal on Communications, 1999, 20(11):86-90.
- [14] 岳殿武, 胡正名. 广义 Hamming 重量上/下界的对偶定理[J]. 通信学报, 1997, 18(7):76-78.
YUE D W, HU Z M. A dual theorem of upper and lower bounds on the generalized Hamming weights[J]. Journal on Communications, 1997, 18(7):76-78.
- [15] 岳殿武, 胡正名. 关于 BCH 码的广义 Hamming 重量上下限[J]. 通信学报, 1997, 18(4):75-79.
YUE D W, HU Z M. Upper bounds and lower bounds on generalized Hamming weight for BCH codes[J]. Journal of Communications, 1997, 18(4):75-79.
- [16] 岳殿武, 胡正名. 广义 Hamming 重量和等重码[J]. 电子科学学刊, 1997, 19(4):553-557.
YUE D W, HU Z M. Generalized Hamming weights and equal weight codes[J]. Journal of Electronics, 1997, 19(4):553-557.
- [17] 岳殿武, 江凌云, 段冰娟. 线性等重码格子复杂度的确定[J]. 应用科学学报, 2000, 18(1):68-71.
YUE D W, JIANG L Y, DUAN B J. The determination of trellis complexity of linear constant weight codes[J]. Journal of Applied Sciences, 2000, 18(1):68-71.
- [18] HELLESETH T, KLØVE T, YTREHUS Ø. Generalized Hamming weights of linear codes[J]. IEEE Transactions Information Theory, 1992, 38(3): 1133-1140.
- [19] CHEN W D, KLØVE T. The weight hierarchies of q -ary codes of dimension 4[J]. IEEE Transactions Information Theory, 1996, 42(7): 2265-2272.
- [20] CHEN W D, KLØVE T. Bounds on the weight hierarchies of linear codes of dimension 4[J]. IEEE Trans Inform Theory, 1997, 43(6): 2047-2054.
- [21] CHEN W D, KLØVE T. The weight hierarchies of q -ary codes of dimension 4[J]. IEEE Transactions Information Theory, 1996, 42(7):2265-2272.
- [22] HU G X, CHEN W D. The weight hierarchies of q -ary linear codes of dimension 4[J]. Discrete Mathematics, 2010, 310(24):3528-3536.
- [23] 王丽君, 陈文德. 5 维 q 元线性码重量谱的分类与确定[J]. 系统科学与数学, 2011, 31(4): 402-413.
WANG L J, CHEN W D. The classification and determination on weight hierarchies of q -ary linear codes of dimension 5[J]. Journal of Systems Science and Complexity, 2011, 31(4): 402-413.
- [24] 王丽君, 陈文德. II₂ 类 5 维 q 元线性码的重量谱[J]. 数学的实践与认识, 2011, 41(21): 244-252.
WANG L J, CHEN W D. The weight hierarchies of q -ary linear codes of dimension 5 in class II₂[J]. Mathematics in Practice and Theory, 2011, 41(21):244-252.
- [25] 王丽君, 陈文德. 一类 5 维 q 元线性码重量谱的确定[J]. 科学通报, 2011, 56(25):2150-2155.
WANG L J, CHEN W D. Determination on a class of weight hierarchies of q -ary linear codes of dimension 5[J]. Chinese Science and Bulletin, 2011, 56(25):2150-2155.
- [26] 王丽君, 陈文德. V₂ 类 5 维 q 元线性码的重量谱[J]. 数学的实践与认识, 2012, 42(5): 237-245.
WANG L J, CHEN W D. The weight hierarchies of q -ary linear codes of dimension 5 in class V₂[J]. Mathematics in Practice and Theory, 2012, 42(5):237-245.
- [27] HU G X, ZHANG H G, WANG L J, et al. A class of the Hamming weight hierarchy of linear codes with dimension 5[J]. Tsinghua Science and Technology, 2014, 19(5):442-451.

作者简介:



胡国香 (1978-), 女, 山东烟台人, 武汉大学博士生, 中南民族大学副教授, 主要研究方向为密码学与信息安全。



张焕国 (1945-), 男, 河北元氏人, 武汉大学教授、博士生导师, 主要研究方向为信息安全、可信计算、容错计算与计算机应用等。